



دانشگاه صنعتی اصفهان

دانشکده مهندسی عمران

## پرش هیدرولیکی در پایین دست شبکن قائم با تبدیل همگرا و جریان زیر بحرانی در بالادست

پایان نامه کارشناسی ارشد مهندسی عمران - سازه های هیدرولیکی

زهرا منعمیان

استاد راهنما

دکتر محمد رضا چمنی



بِسْمِ اللَّهِ الرَّحْمَنِ الرَّحِيمِ



دانشگاه صنعتی اصفهان

دانشکده مهندسی عمران

## پرش هیدرولیکی در پایین دست شبکن قائم با تبدیل همگرا و جریان زیربحارانی در بالادست

پایان نامه کارشناسی ارشد مهندسی عمران - سازه های هیدرولیکی

زهرا منعمیان

استاد راهنما

دکتر محمد رضا چمنی



دانشگاه صنعتی اصفهان

دانشکده مهندسی عمران

پایاننامه‌ی کارشناسی ارشد رشته‌ی مهندسی عمران – سازه‌های هیدرولیکی  
خانم زهرا منعمیان

تحت عنوان

پرش هیدرولیکی در پایین دست شبکن با تبدیل همگرا و جریان زیربحرانی در  
بالادست

در تاریخ ۱۳۹۳/۱۰/۷ توسط کمیته‌ی تخصصی زیر مورد بررسی و تصویب نهایی قرار گرفت.

- |   |   |
|---|---|
| <p>دکتر محمدرضا چمنی</p> <p>دکتر محمد کریم بیرامی</p> <p>دکتر عبدالرضا کیری سامانی</p> <p>دکتر عبدالرضا کیری سامانی</p> | <p>۱- استاد راهنمای پایان نامه</p> <p>۲- استاد داور</p> <p>۳- استاد داور</p> <p>سرپرست تحصیلات تکمیلی دانشکده</p> |
|---|---|

بر خود لازم می‌دانم از زحمات بی‌دریغ استاد بزرگ‌گوارم جناب آقای دکتر محمدرضا چمنی که در تمامی مراحل تحصیل مرا یاری نمودند تشکر کنم. از خانم مهندس فخاری که در انجام این تحقیق کمک‌های شایانی داشتند تشکر می‌کنم. از آقای دکتر بیرامی و دکتر کبیری به خاطر قبول زحمت داوری این پایان‌نامه کمال تشکر را دارم.

کلیهی حقوق مادی مترتب بر نتایج مطالعات،  
ابتكارات و نوآوری‌های ناشی از تحقیق موضوع  
این پایان‌نامه (رساله) متعلق به دانشگاه صنعتی  
اصفهان است.

لَهْدِيْمِ بَنْ

پَرَوْمَادِ عَزِيزِ م

,

بَهْسَرْجَهْرَبَانْم

## فهرست مطالب

صفحه	عنوان
.....	فهرست مطالب.....
.....	فهرست علامت ها.....
.....	چکیده.....
.....	فصل اول: مقدمه.....
.....	۱-۱ مقدمه.....
.....	۲-۱ شب شکن قائم.....
.....	۳-۱ تخصیم بندی شب شکن های قائم از نظر نوع جریان.....
.....	۳-۲ تخصیم بندی شب شکن های قائم از نظر شکل هندسی.....
.....	۳-۲-۱ الف شب شکن قائم ساده.....
.....	۳-۲-۲ ب شب شکن قائم همراه با مانع در پایین دست.....
.....	۴-۱ ج شب شکن قائم با شب مثبت در پایین دست.....
.....	۴-۲ د شب شکن قائم با شب منفی در پایین دست.....
.....	۴-۳ تبدیل.....
.....	۴-۳-۱ تخصیم بندی تبدیل از شکل.....
.....	۴-۳-۲ جریان زیر بحرانی در بالادست تبدیل.....
.....	۵-۱ پرش هیدرولیکی.....
.....	۶-۱ ضرورت انجام و اهداف تحقیق حاضر.....
.....	۷-۱ ساختار پایان نامه.....
.....	فصل دوم: مرواری بر تحقیقات پیشین.....
.....	۸-۱ مقدمه.....
.....	۸-۲ تحقیقات پیشین شب شکن.....
.....	۲۸-۲ تحقیقات پیشین پرش هیدرولیکی.....
.....	۳۰-۴ جمع بندی.....
.....	فصل سوم: مدل های پیشنهادی.....
.....	۳۱-۱ مقدمه.....
.....	۳۲-۲ مدل تحلیلی ۱.....
.....	۳۳-۳ مدل تحلیلی ۲.....
.....	۳۴-۴ مدل تحلیلی ۳.....
.....	۳۵-۵ مدل تحلیلی ۴.....
.....	۳۶-۶ مدل تحلیلی ۵.....
.....	۳۶-۷ مدل تحلیلی ۶.....
.....	۳۷-۸ جمع بندی.....
.....	فصل چهارم: مدل سازی آزمایشگاهی.....
.....	۴-۱ مقدمه.....

۳۹	۲-۴ تجهیزات آزمایشگاهی.....
۴۵	۳-۴ مدل‌های آزمایشگاهی.....
۴۶	۴-۴ پارامترهای اندازه‌گیری شده.....
۴۶	۴-۴-۱ پروفیل عمق جریان در لبه شیب‌شکن.....
۴۷	۴-۴-۲ پروفیل عمق در بالادست شیب‌شکن.....
۴۷	۴-۴-۳ عمق و طول گردادب.....
۴۷	۴-۴-۴ پارامترهای پرش هیدرولیکی.....
۴۸	۴-۴-۵ جمع‌بندی.....
	<b>فصل پنجم: مشاهدات آزمایشگاهی و تحلیل نتایج</b>
۴۹	۱-۵ مقدمه.....
۴۹	۲-۵ عمق آب در لبه.....
۵۳	۳-۵ عمق بالادست.....
۵۵	۴-۵ عمق و طول گردادب.....
۵۸	۵-۵ پرش هیدرولیکی.....
۶۲	۱-۵-۱ طول غلتابه‌ی پرش هیدرولیکی.....
۶۳	۱-۵-۲ عمق ثانویه‌ی پرش هیدرولیکی.....
۶۳	۱-۵-۳ افت هد.....
۶۳	۱-۶-۱ بررسی افت هد نسبی با استفاده از مدل تحلیلی ۱.....
۶۴	۱-۶-۲ بررسی افت هد نسبی با استفاده از مدل تحلیلی ۲.....
۶۷	۱-۶-۳ بررسی افت هد نسبی با استفاده از مدل تحلیلی ۳.....
۶۷	۱-۶-۴ بررسی افت هد نسبی با استفاده از مدل تحلیلی ۴.....
۶۷	۱-۶-۵ بررسی افت هد نسبی با استفاده از مدل تحلیلی ۵.....
۶۷	۱-۶-۶ بررسی افت هد نسبی با استفاده از مدل تحلیلی ۶.....
۷۳	۱-۷-۵ مقایسه‌ی نتایج با دیگر محققین.....
۷۳	۱-۷-۶ عمق جریان در لبه شیشکن.....
۷۳	۱-۷-۷ عمق گردادب.....
۷۴	۱-۷-۸ طول غلتابه‌ی پرش هیدرولیکی.....
۷۶	۱-۷-۹ عمق ثانویه‌ی پرش هیدرولیکی.....
۷۷	۱-۷-۱۰ افت هد.....
۷۹	۱-۸-۵ جمع‌بندی.....
	<b>فصل ششم: نتایج و پیشنهادها</b>
۸۱	۱-۶ مقدمه.....
۸۲	۲-۶ جمع‌بندی و نتیجه‌گیری‌های کلی.....
۸۳	۳-۶ پیشنهادها.....
۸۴	مراجع.....

## فهرست علامت‌ها

### علامت

### توضیح

$A$

سطح مقطع

$A_e$

سطح مقطع در مقطع  $e$

$A_u$

سطح مقطع در مقطع  $u$

$b$

عرض کانال در لبهٔ شبکن

$B$

عرض کانال بالادست و پایین‌دست

$b_0$

ضخامت نازل

$C_c$

ضریب انقباض

$D$

عدد شبکن

$d_0$

عمق جریان در لبهٔ شبکن

$d_1$

عمق جریان در کانال پایین‌دست، عمق اولیهٔ پرش هیدرولیکی

$d_2$

عمق ثانویهٔ پرش هیدرولیکی

$d_c$

عمق جریان در حالت بحرانی

$d_p$

عمق گرداب در پشت جت سقوطی

$d_u$

عمق جریان در کانال بالادست

$E_0$

انرژی مخصوص در کانال بالادست

$E_1$

انرژی مخصوص در کانال پایین‌دست قبل از پرش هیدرولیکی

$E_2$

انرژی مخصوص در کانال پایین‌دست بعد از پرش هیدرولیکی

$Fr$

عدد فرود

$Fr_1$

فرود اولیهٔ پرش هیدرولیکی

$Fr_u$

عدد فرود جریان در کانال بالادست

## فهرست علامت‌ها

علامت	توضیح
$g$	شتاب ثقل زمین
$h$	ارتفاع شیب‌شکن
$h_s$	ارتفاع پله در پای شیب‌شکن
$k_i$	ضریب افت انرژی ناشی از تبدیل همگرا
$L_d$	طول شیب‌شکن
$L_j$	طول پرش هیدرولیکی
$L_p$	طول گرداد
$q$	دبی جریان در واحد عرض
$Q$	دبی جریان
$Q_c$	دبی جریان در حالت بحرانی
$Q_f$	دبی جریان در حالت حرکت یکنواخت
$t$	زمان سقوط جت سقوطی
$U_0$	سرعت جت سطحی
$v$	مقادیر سرعت اندازه‌گیری شده در مقطع
$V$	سرعت جت سقوطی قبل از برخورد با گرداد
$V_1$	سرعت جریان در کanal پایین دست قبل از پرش هیدرولیکی
$V_c$	سرعت جریان در حالت بحرانی
$V_m$	سرعت جت سقوطی در ناحیه‌ی اختلاط
$V_x$	سرعت جت سقوطی در راستای افقی
$y_1$	عمق بالا دست در جریان فوق بحرانی

## فهرست علامت‌ها

<u>علامت</u>	<u>توضیح</u>
$y_1^*$	عمقی از جریان که مشخص کننده متصل یا منفصل بودن نقاط بازتاب است
$Y_{up}$	عمق جریان در بالادست شبکه
$\gamma$	وزن مخصوص آب
$\theta$	زاویه‌ی برخورد جت سقوطی به کف کانال
$\lambda_r$	طول غلتابه‌ی نسبی
$\Phi$	ضریب افت انرژی
$\omega$	نسبت ابعاد
	دوازده

## چکیده

در کانال‌های آبیاری و شبکه‌های جمع‌آوری فاضلاب از شیب‌شکن برای جبران اختلاف ارتفاع کف کانال با بستر طبیعی زمین استفاده می‌شود. سرعت جریان پس از عبور از شیب‌شکن افزایش یافته و جریان، انرژی جنبشی زیادی خواهد داشت. این انرژی جنبشی زیاد، مخرب بوده و باعث فرسایش بستر، آبستنگی و تخریب سازه‌های پایین دست می‌شود. علاوه بر آن، در شیب‌شکن محفظه‌ی فشار منفی در زیر جت سقوطی، در صورت هواده‌ی نشدن، وجود دارد که سبب مکش، پرشدن محفظه‌ی از آب و افزایش لرزش جت سقوطی می‌شود. در این تحقیق، با قرار دادن تبدیل‌های همگرا در لبه‌ی آبشار شیب‌شکن قائم، میزان استهلاک انرژی و وضعیت پرش هیدرولیکی ایجاد شده در پایین دست شیب‌شکن در مقایسه با شرایط شیب‌شکن قائم ساده بدون استفاده از تبدیل همگرا، به صورت آزمایشگاهی و تحلیلی مطالعه شده است. هدف استفاده از تبدیل در شیب‌شکن افزایش میزان استهلاک انرژی، بررسی اثر آن بر روی پرش هیدرولیکی در پایین دست شیب‌شکن و هواده‌ی طبیعی محفظه‌ی هوا در زیر جت سقوطی است.

آزمایش‌ها بر روی سه شیب‌شکن متفاوت با استفاده از شش تبدیل همگرا با ابعاد متفاوت و با دبی نسبی ( $d_c/h$ ) در محدوده‌ی  $0.07/0.07$  تا  $0.45/0.45$  صورت گرفته است که  $h$  ارتفاع شیب‌شکن و  $d_c$  عمق بحرانی است. وجود تبدیل همگرا در لبه‌ی شیب‌شکن قائم با کاهش مقطع جت سقوطی در هنگام ریزش از لبه‌ی شیب‌شکن، باعث از بین رفتن محفظه‌ی با فشار منفی در پشت جت سقوطی شده و به همین دلیل، دیگر نیازی به هواده‌ی نیست. با استفاده از نتایج آزمایشگاهی، روابطی تجریبی برای برآورد پروفیل عمق جریان در لبه‌ی شیب‌شکن، عمق متوسط جریان در لبه‌ی شیب‌شکن، طول گرداب نسبی و افت هد نسبی پیشنهاد شده است. با استفاده از فرضیات محققین پیشین، مشاهدات آزمایشگاهی و فرض یکسان بودن پرش هیدرولیکی در این مطالعه با پرش هیدرولیکی کلاسیک، شش مدل تحلیلی برای برآورد افت هد در شیب‌شکن قائم با تبدیل همگرا ارائه شد. نتایج حاصل از مدل‌های ارائه شده با نتایج آزمایشگاهی مقایسه شد و مدل تحلیلی شماره ۵ نزدیک ترین نتایج را به نتایج آزمایشگاهی برای برآورد افت هد با نسبت همگرایی  $0.08/0.08$  ارائه نمود. افت هد نسبی با نسبت همگرایی  $0.09/0.09$  و با نسبت همگرایی  $0.08/0.08$  افزایش دارد. با افزایش عمق پایاب و ایجاد پرش هیدرولیکی، اثرات ناشی از امواج شوک ناشی از تبدیل همگرا در لبه‌ی شیب‌شکن کاهش داده شد. شکل پرش هیدرولیکی بسته به عمق پایاب، دبی و فرود اولیه متفاوت بوده و باعث به وجود آمدن پرش‌های متفاوتی می‌شود. پرش هیدرولیکی تشکیل شده در پای شیب‌شکن با فرود اولیه‌ای در محدوده‌ی  $2/4$  پرش هیدرولیکی کامل و در محدوده‌ی  $4/7$  پرش هیدرولیکی  $7/7$ -شکل نامتقارن است. در نسبت همگرایی  $0.08/0.08$  و در شیب‌شکن با ارتفاع  $400$  میلی‌متر (به جز در کمترین دبی)، پرش هیدرولیکی به صورت یک پرش خاص در پای جت سقوطی رخ می‌دهد. نتیجه‌ی حاصل شده از مقایسه‌ی طول غلتابه‌ی سطحی پرش هیدرولیکی در این مطالعه با پرش هیدرولیکی کلاسیک نشان داد که طول غلتابه‌ی سطحی کاهش می‌یابد. با افزایش سرعت جریان در پایین دست و افزایش عدد فرود اولیه‌ی پرش هیدرولیکی، اختلاف طول غلتابه‌ی نسبی در این مطالعه با پرش هیدرولیکی کلاسیک بیشتر می‌شود. عمق ثانویه‌ی پرش هیدرولیکی در این مطالعه تقریباً با عمق ثانویه‌ی پرش هیدرولیکی کلاسیک برابر بوده و بیشترین اختلاف آن به  $11\%$  می‌رسد.

کلمات کلیدی: افت هد، پرش هیدرولیکی، شیب‌شکن قائم، تبدیل همگرا.

## فصل اول

### مقدمه

#### ۱-۱ مقدمه

گاهی شیب کانال‌هایی که بر روی زمین ساخته می‌شوند از شیب مجاز در طراحی کمتر یا بیشتر می‌شود که در صورت کم بودن عملیات خاکی، شیب غیرمجاز کانال را با استفاده از خاکبرداری و خاکریزی، به شیب مجاز تبدیل می‌کنند. در صورتی که شیب خیلی بیشتر از شیب مجاز باشد و یا اینکه خاکریزی غیراقتصادی باشد، از شیب‌شکن<sup>۱</sup> استفاده می‌شود. اتلاف انرژی در شیب‌شکن به دو طریق اتلاف انرژی ناشی از سازه‌ی شیب‌شکن و اتلاف انرژی ناشی از پرش هیدرولیکی<sup>۲</sup> در پایین دست شیب‌شکن است. جریان پایین دست شیب‌شکن فوق‌بحرانی است و پرش هیدرولیکی به عنوان یک مستهلک کننده انرژی برای این جریان فوق‌بحرانی قابل استفاده است. پرش هیدرولیکی در یک فاصله کوتاه سرعت جریان را به صورت قابل ملاحظه‌ای کاهش می‌دهد و کف کانال را از خطر فرسایش در امان نگه می‌دارد.

---

<sup>1</sup> Drop

<sup>2</sup> Hydraulic jump

## ۱-۲ شیب‌شکن قائم

شیب‌شکن سازه‌ایست که در کanal برای انتقال جریان از ارتفاع بالاتر به ارتفاع پایین‌تر استفاده می‌شود. این موضوع باعث کاهش انرژی جنبشی جریان نیز می‌شود. قسمت عمده‌ی استهلاک انرژی در شیب‌شکن ناشی از اختلاط جت سقوطی<sup>۱</sup> از شیب‌شکن با گرداب<sup>۲</sup> آب در کanal پایین دست شیب‌شکن است. قسمت دیگری از استهلاک انرژی مربوط به پرش هیدرولیکی پس از آن است. از این سازه در کanal‌های آبیاری و زهکشی، شبکه‌های جمع آوری آب سطحی و فاضلاب و سرریزهای پلکانی استفاده می‌شود. متغیرهای مهم در شیب‌شکن قائم، ارتفاع شیب‌شکن ( $h$ )، عمق بحرانی ( $d_c$ )، عمق آب در لبه‌ی شیب‌شکن ( $d_0$ )، عمق گرداب ( $d_p$ ، طول شیب‌شکن ( $L_d$ ، عمق جریان در کanal پایین دست ( $d_1$ ) است (شکل ۱-۱).

### ۱-۲-۱ تقسیم‌بندی شیب‌شکن‌های قائم از نظر نوع جریان

جریان در بالادست شیب‌شکن قائم ممکن است زیربحرانی یا فوقبحaranی باشد. شیب‌شکن‌های قائم با جریان زیربحaranی در بالادست، در کanal‌های آبیاری و در شبکه‌های جمع آوری فاضلاب استفاده می‌شوند. در شیب‌شکن‌های با جریان فوقبحaranی در بالادست، جریان در پایین دست شیب‌شکن دارای فرود بالاتری نسبت به شیب‌شکن‌های با جریان زیربحaranی در بالادست است و در این شیب‌شکن‌ها هوا درون جریان وارد می‌شود.

### ۱-۲-۲ تقسیم‌بندی شیب‌شکن‌های قائم از نظر شکل هندسی

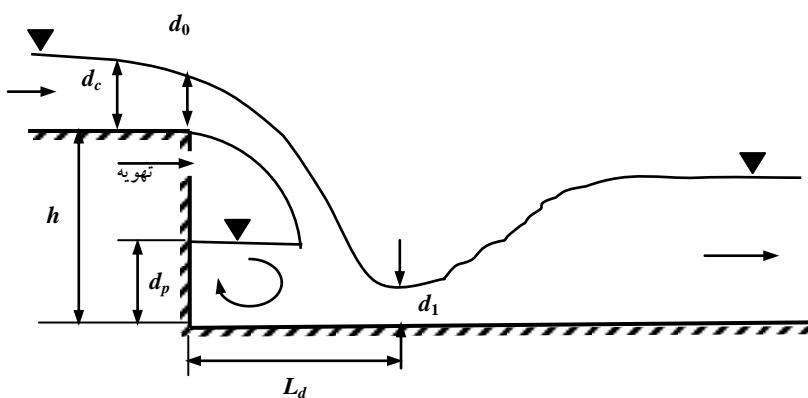
از نظر شکل هندسی شیب‌شکن‌های قائم به چهار دسته تقسیم می‌شوند.

#### ۱-۲-۲-۱-الف شیب‌شکن قائم ساده

در این شیب‌شکن، شیب کanal بالادست و پایین دست یکسان بوده و دیواره‌ی شیب‌شکن قائم است (شکل ۱-۲-۱-الف). جریان گردابی در این شیب‌شکن سبب اتلاف انرژی می‌شود.

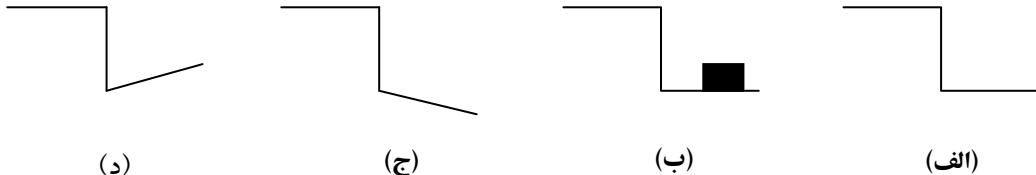
#### ۱-۲-۲-۱-ب شیب‌شکن قائم همراه با مانع در پایین دست

این شیب‌شکن یک شیب‌شکن قائم است که در کanal پایین دست آن مانع قرار داده می‌شود (شکل ۱-۲-۱-ب). وجود این مانع باعث افزایش افت انرژی می‌شود.



شکل ۱-۱: نمایی از شیب‌شکن قائم.

<sup>1</sup> Falling jet  
<sup>2</sup> Pool



شکل ۱-۱: تقسیم‌بندی هندسی شیب‌شکن؛ (الف) شیب‌شکن قائم ساده، (ب) شیب‌شکن همراه با مانع، (ج) شیب‌شکن با شیب مثبت، (د) شیب‌شکن با شیب منفی.

۱-۲-۱-ج شیب‌شکن قائم با شیب مثبت در پایین دست از این شیب‌شکن‌ها در بدنه‌ی سدهای خاکی جهت تخلیه‌ی آب و جلوگیری از فرسایش بدنه سد استفاده می‌شود (شکل ۱-۲-ج).

۱-۲-۲-د شیب‌شکن قائم با شیب منفی در پایین دست در این شیب‌شکن با شیب‌دار کردن کanal پایین دست به صورت معکوس، افت انرژی افزایش می‌یابد و در یک زاویه‌ی مشخص، افت انرژی به مقدار بهینه می‌رسد (شکل ۱-۲-د).

### ۱-۳ تبدیل

تبدیل<sup>۱</sup> سازه‌ایست که برای تغییر سطح مقطع و یا شکل جریان از آن استفاده می‌شود. تغییر تدریجی سطح و شکل مقطع سبب تغییر وضعیت جریان می‌شود. طراحی ساختمان تبدیل مانع ایجاد امواج و سایر آشفتگی‌های جریان شده و افت انرژی ناشی از تبدیل به حداقل می‌رسد. جریان در بالا دست تبدیل‌ها می‌تواند زیربحرانی یا فوقبحرانی باشد.

۱-۳-۱ تقسیم‌بندی تبدیل از شکل تبدیل‌ها گاه برای انتقال جریان از مقطع کوچکتر به مقطع بزرگتر استفاده می‌شوند که به آن تبدیل واگرا<sup>۲</sup> گفته می‌شود و گاه برای انتقال جریان از مقطع بزرگتر به مقطع کوچکتر استفاده می‌شود که به آن تبدیل همگرا<sup>۳</sup> گفته می‌شود. آنچه در هیدرولیک تبدیل‌ها از اهمیت خاص برخوردار است، میزان افت انرژی و محاسبه و طرح پروفیل تبدیل است تا بتواند توزیع سرعت در انتهای تبدیل را به صورت مطلوب تأمین کند. میزان افت انرژی در تبدیل‌های همگرا کمتر از تبدیل‌های واگراست [۱].

۱-۳-۲ جریان زیربحرانی در بالا دست تبدیل هر دو نوع تبدیل‌های همگرا و واگرا برای هر دو حالت جریان زیربحرانی و فوقبحرانی استفاده می‌شوند. در جریان زیربحرانی فرض می‌شود که سرعت و عمق جریان در عرض مقطع جریان ثابت می‌ماند. در جریان‌های فوقبحرانی، شکل حرکت امواج ایجاد شده، دارای پیچیدگی بیشتری بوده و هر مانع در سر راه جریان، باعث ایجاد موج سطحی شده که در حین حرکت به سمت پایین دست، در عرض جریان نیز پیش می‌رود. در جریان زیربحرانی هرگونه اغتشاش و تغییر سطح، به پایین دست و بالا دست منتقل می‌شود، در صورتی که در جریان فوقبحرانی، تأثیر تبدیل تنها در پایین دست قابل مشاهده است. در طراحی تبدیل‌ها، اعم از جریان فوقبحرانی یا زیربحرانی، در صورتی که مقطع پایین دست بیش از اندازه باریک باشد، انسداد رخ می‌دهد. در این حالت، در داخل تبدیل جریان بحرانی ایجاد شده

<sup>1</sup> Transition

<sup>2</sup> Expansion

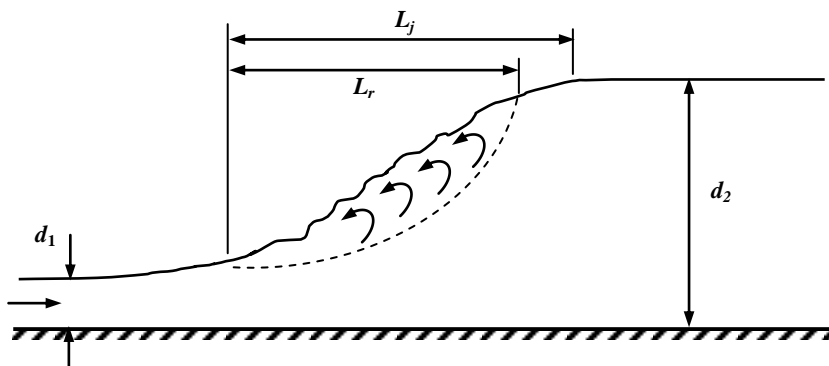
<sup>3</sup> Contraction

باعث افت انرژی نسبتاً زیادی می‌شود. در جریان فوق بحرانی، علاوه بر این مورد و به خاطر پیچیدگی شرایط جریان، امکان ایجاد انسداد به گونه‌ی دیگری نیز هست که در این حالت در بالا دست تبدیل پرش هیدرولیکی رخ داده و سپس جریان بحرانی در داخل تبدیل رخ می‌دهد [۱].

#### ۱-۴ پرش هیدرولیکی

پرش هیدرولیکی، تبدیل سریع رژیم جریان، از فوق بحرانی به زیر بحرانی است و از نوع جریان‌های متغیر سریع است. تبدیل رژیم جریان با انبساط سریع همراه بوده و از ابتدا تا انتهای پرش، تلاطم و آشفتگی سطحی وجود دارد. عمق جریان در مسیر نسبتاً کوتاهی افزایش می‌یابد و افت انرژی محسوسی رخ می‌دهد و سرعت جریان به صورت قابل ملاحظه‌ای کاهش می‌یابد. از ابتدا تا انتهای پرش هیدرولیکی تلاطم و پیچش سطحی آب وجود دارد. به تناسب شدت پرش هیدرولیکی، آشفتگی‌هایی در سطح آب دیده می‌شود که به تدریج با نزدیک شدن به انتهای پرش، از شدت آن‌ها و انرژی جریان کاسته می‌شود. به علت این آشفتگی‌ها و در اثر برخورد آب با هوا، مقداری هوا با جریان در قسمت‌های سطحی مخلوط شده و به شمت پایین دست منتقل می‌شود [۱].

پرش هیدرولیکی در کanal مستطیلی افقی را پرش هیدرولیکی کلاسیک می‌گویند. در این پرش، سطح آب از نقطه شروع پرش به صورت ناگهانی افزایش پیدا می‌کند. قدرت و شدت پرش به عدد فرود در محل شروع پرش بستگی دارد که با افزایش آن، نسبت عمق ثانویه‌ی پرش هیدرولیکی به عمق اولیه‌ی آن و افت انرژی افزایش می‌یابد. مشخصه‌های مهم پرش هیدرولیکی عمق اولیه ( $d_1$ )، عمق ثانویه ( $d_2$ )، طول پرش هیدرولیکی<sup>۱</sup> ( $L_r$ ) و طول غلطابه<sup>۲</sup> ( $L_j$ ) است (شکل ۱-۳).



شکل ۱-۳: شماتیک از پرش هیدرولیکی [۱].

دسته‌ی دیگر از پرش‌های هیدرولیکی، پرش بر روی سطوح شیب‌دار است. این پرش‌ها با توجه به شرایط مختلف، بر روی مسیرهای با شیب مثبت یا منفی تشکیل می‌شوند. در مورد پرش بر روی سطوح با شیب منفی، به نظر

<sup>1</sup> Length of the Hydraulic Jump

<sup>2</sup> Length of the Roller

می‌رسد که تأثیر وزن می‌تواند طول پرش هیدرولیکی را کاهش دهد [۱]. دسته‌ی دیگری از پرش‌های هیدرولیکی، پرش‌های بعد از تغییرات هندسی در مقطع جریان هستند که این تغییرات می‌تواند کاهش یا افزایش ارتفاع کف کanal و یا تغییر در عرض کanal باشد. در صورت وجود پله‌ای مثبت یا منفی در کanal، طول غلتابه و عمق ثانویه‌ی پرش‌های هیدرولیکی تشکیل شده به ارتفاع پله و عدد فروود اولیه بستگی دارد. پایداری پرش هیدرولیکی نسبت به تغییرات عمق پایاب، در صورت وجود پله‌ی منفی حدود شش برابر پله‌ی مثبت است [۲]. با افزایش عرض کanal امواج شوک حاصل از واگرایی با برخورد به دیواره‌ها به صورت امواج پایدار در کanal گسترش می‌یابند و با افزایش عمق پایاب، پرش هیدرولیکی تشکیل شده و حرکت به سمت بالادست به چهار صورت متفاوت پدیدار می‌شود. در ابتدا پرش مختلط الخطوط<sup>۱</sup>، سپس پرش<sup>۲</sup>  $R$ ، پس از آن پرش<sup>۳</sup>  $S$  و نهایتاً پرش<sup>۴</sup>  $T$  تشکیل می‌شود که با انتقال پرش به قبل از واگرایی، پرش هیدرولیکی کلاسیک پدیدار می‌شود [۳].

#### ۱-۵ ضرورت انجام و اهداف تحقیق حاضر

باتوجه به اینکه در اکثر شبکن‌ها، عرض کanal بالادست و پایین دست برابر است، در زیر جت سقوطی از شبکن یک محفظه‌ی هوا با فشار منفی به وجود می‌آید که باعث مکش آب و پر شدن محفظه می‌شود. اگر سطح آب تا لبه شبکن بالا آید، ارتعاش جت سقوطی شدت می‌یابد. برای جلوگیری از این اتفاق این محفظه باید هواده‌ی شود. برای این کار می‌توان کanal پایین دست را نسبت به کanal بالادست عریض‌تر کرد، که به صورت قابل ملاحظه‌ای باعث طولانی‌تر شدن شبکن می‌شود. برخی از محققین پیشین [۴ و ۵]، برای حل این مسأله، استفاده از تبدیل همگرا در لبه شبکن و برخی دیگر از محققین [۶]، استفاده از تبدیل واگرایی پیشنهاد داده‌اند. با استفاده از تبدیل، عرض کanal بالادست و پایین دست ثابت مانده و هوا وارد محفظه با فشار منفی می‌شود. با وجود تبدیل، امکان افزایش میزان افت انرژی در شبکن وجود دارد. به علت وجود تبدیل در لبه شبکن، امواج شوک<sup>۵</sup> ناشی از جریان فوقبحارانی در پایین دست تشدید می‌شود. جریان در پایین دست باید زیربحارانی شود که این امر با وقوع پرش هیدرولیکی میسر می‌شود.

از اهداف تحقیق حاضر می‌توان به بررسی تغییرات عرضی عمق در لبه و نیز ارائه‌ی رابطه‌ای برای برآورد عمق جریان در لبه شبکن با تبدیل همگرا اشاره کرد. با توجه به تحقیق جنتی (۱۳۸۷) و افزایش استهلاک انرژی با استفاده از تبدیل همگرا، هدف اصلی تحقیق حاضر بررسی خصوصیات پرش هیدرولیکی در پایین دست شبکن با تبدیل همگرا است. از آنجایی که پرش هیدرولیکی مستهلاک‌کننده‌ی جریان در حوضچه‌های آرامش است، تشکیل پرش هیدرولیکی در پایین دست شبکن در پای جت سقوطی و برآورد متغیرهای پرش هیدرولیکی و اثر آن بر میزان افت انرژی از دیگر اهداف این تحقیق است. پرش هیدرولیکی به عنوان کاهش دهنده‌ی اثرات امواج شوک حاصل از جریان فوقبحارانی در کanal پایین دست نیز استفاده می‌شود. به علت وجود این امواج، پرش در تحقیق

<sup>1</sup> Mixtilinear

<sup>2</sup> Repelled Jump

<sup>3</sup> Spatial Jump

<sup>4</sup> Transition Jump

<sup>5</sup> shock waves

حاضر تفاوت‌هایی با پرش هیدرولیکی کلاسیک دارد که تغییرات پرش هیدرولیکی تحت تأثیر امواج شوک نیز بررسی می‌شود. درنهایت، با ارائه مدل‌های تحلیلی با استفاده از فرضیات محققین پیشین و درنظر گرفتن فرضیات جدید، مدلی تحلیلی برای برآورد اتلاف انرژی ارائه خواهد شد.

#### ۱-۶ ساختار پایاننامه

در راستای اهداف تحقیق حاضر در فصل دوم به مرور مطالعات محققین پیشین در زمینه‌ی شیب‌شکن و پرش هیدرولیکی کلاسیک پرداخته می‌شود. در فصل سوم مدل‌های تحلیلی با فرضیات آن ارائه می‌شود. برای صحت‌سنجه‌ی مدل‌ها، مطالعاتی آزمایشگاهی صورت می‌گیرد که مدل‌های آزمایشگاهی، نحوه‌ی انجام آزمایش‌ها و روند اندازه‌گیری پارامترهای مختلف در فصل چهارم شرح داده می‌شود. در فصل پنجم، مشاهدات آزمایشگاهی تشریح می‌شود و تحلیل نتایج آزمایشگاهی و مدل‌های تحلیلی ارائه می‌شود. درنهایت در فصل ششم، جمع‌بندی کلی از نتایج تحقیق و پیشنهادهایی برای ادامه‌ی تحقیقات ارائه می‌شود.